

II-11 不規則波の shoaling 効果について

大阪大学工学部 正員 稲本亨
○ 大成建設 K.K. 正員 八重田義博

1. 緒言：著者の一人は先に、減衰域における不規則波の変形をとりあげ、境界規則波の変形原因として著者られてきた shoaling の効果、底部摩擦の効果、内部粘性の効果などとの線型理論によるスペクトル変形量を求める測定値との比較を行なった。しかしながら、この場合の解析においてはスペクトルの卓越周波数附近における著るしいエキルギー減衰が認められたが、それを十分理論的に解析する所ではないから、問題点を指摘するにとどめ、ついで、本論文では上述の線型理論によるスペクトル変形量の理論値と実測値との差異の主なる原因が、shoaling 効果に関する高次非線型干渉にもとづくものではないかと考えて、不規則波の shoaling の解明を行なうとともに、近年浜田らによって指摘された疊積的幹波についても若干の考察を行なつたのでここに報告する。

2. 不規則波の shoaling 効果と疊積的幹波の取扱い法：(1)不規則波の shoaling 効果の解析法：不規則波の shoaling 効果を考える場合に、各成分波のエキルギーフラクツが保存されるわけではなく、不規則波全体のエキルギーフラクツが一定に保たれると考えなくてはならない。したがって不規則波の shoaling 効果による変形を考える場合には各成分波に対する粘性摩擦などを考慮してからに2次以上の高次非線型干渉によるエキルギー移行も考慮して上で一次の成分の shoaling 効果、2次の成分の shoaling 効果、さらにそれより高次の shoaling 効果といつてのように別々にそれらの成分の shoaling 効果を求めなければならない。しかしながら、これら shoaling 効果においては2次の非線型干渉が最も支配的になるとが光易によつて指摘されており、ここでは一応3次以上の成分の変化については無視できるものとして取扱う。また、著者の論文において内部粘性、境界摩擦によるエキルギー減衰を極めて小さりんとが明らかとなつたため、これらの効果についても無視することとし、さらに幹波によるエキルギー減衰については別途考慮することとして、まず shoaling 効果だけをとりあげることとした。先に述べた仮定のもとで、shoaling の特性を明らかにするために、スペクトルを1次の部分 S^1 と2次の非線型干渉による部分 $S^{(2)}$ に分解して考察をすすめる。2次の非線型干渉によるスペクトル密度は Tikh や浜田らによつて1次のスペクトルを用いて次式で計算できることが示されている。

$$S^{(2)}(\lambda) = \int_{-\infty}^{\infty} K(\alpha, \lambda) S^1(\lambda - \alpha) S^1(\alpha) d\alpha \quad (1)$$

シニヤ $S^{(n)}$: n 次スペクトル密度、 $\lambda = \alpha + \alpha'$ 、 α, α' : 角周波数 $K(\alpha, \lambda)$ (下式で示される値である)。

$$K(\alpha, \lambda) = \frac{1}{4} \left[\frac{\frac{g}{\alpha} \cdot \frac{\alpha^2}{\alpha'^2} + \frac{\alpha^2}{\alpha'} - (\alpha + \alpha')^2}{g} + \frac{(\alpha + \alpha')^2 \{ g(\alpha^2 + \alpha'^2) + \frac{2g\alpha\alpha'}{\alpha^2} + \frac{\alpha^2}{\alpha'} - (\alpha + \alpha')^2 \}}{g} \right]^2 \quad (2)$$

シニヤ α, α' : α, α' : 対応角周波数

3次以上の非線型干渉を無視すれば、 $S = S^1 + S^{(2)}$ となるから、 S^1 を仮定して $S^{(2)}$ を求め $S^1 + S^{(2)} = S$ を満足せしめなければいけないわけであるが、 S^1 から $S^{(2)}$ を求め計算は、極めて時間がかかり、また上述の条件を満足せしめろのことは容易ではない。そこで著者は $S = S^1 + S^{(2)}$ を仮定して S^1 を求め、オカ近似値として $S^{(2)} = S - S^1$ を用いて S^1 を求め $S^{(2)}$ の傾向をもつて検討することとした。また具体的に shoaling の効果による shoaling の係数として求められるが、その shoaling 係数をつかの从の観測から求められれた変化を明らかにする。

(1) 有義波高の変化、(2) スペクトル密度のピークトリ算定された shoaling 係数 $\sqrt{S(f_p)/S_0(f_p)}$ の変化 (ただし $S(f_p)$ はピーク周波数 f_p におけるスペクトル密度、 $S_0(f_p)$ は冲波のスペクトル密度)、(3) 周波数別のスペクトル密度から算定した shoaling 係数 $\sqrt{S(f)/S_0(f)}$ の変化、(4) スペクトル密度の総和から算定した shoaling 係数 $\sqrt{\sum S(f) / \sum S_0(f)}$ の変化

(b) 選択的碎波の取扱い法：別途考慮して選択的碎波について(合田が提案したモデルに基づいて碎波限界波高とその範囲について検討を加え)上で計算を行ない、選択的碎波による有義波高減衰率及び有義波高比の変化等について検討を加えに。

3. 実験方法とデーター処理法：本実験に用いた造波装置は先の論文においても示した大阪大学の不規則波発生装置であり、模型海岸として勾配1/40勾配の傾斜面が用いられている。很高い測定精度で測定1を水平部(水深60cm)から3傾斜部)に測定2(水深50cm)測定3(水深40cm)測定4(水深30cm)測定5(水深20~18cm)測定6(水深16~14cm)測定7(水深12~10cm)の6ヶ所に設置された。その地図でえられたデーターは磁気テープに収録し、 $1/5$ sec 間隔で2000回サンプリングして有義波高、周期、スペクトルなどを算定を行なう。スペクトルは Blackman-Teekey の方法により、最大ラグ数80、自由度50、Nyquist-frequency $f_N = 7.5 \text{ cps}$ で求めた。
 実験に用いた不規則波は6種類であるが、このうち4ケース(case 1, 4)はスペクトルピークが $f_p = 0.75 \sim 0.84 \text{ cps}$ である波である。

4. 実験結果と考察：(a) shoaling の効果について：先に述べた
 とおり、トリスベクトルを基本成分と二次成分に分離し、元のスペクトルと分離後の二次成分スペクトルを示したのが図-1、図-2であって、図-1は沖側、図-2は岸側の代表例を示す。これより沖においては全周波数において基本成分に比べて二次成分が小さく無視でき、が水深が浅くなるとスペクトルピーク付近で下基本成分に比べて二次成分は無視できるがそれより高周波数側、低周波数側では無視できないほど二次成分が飛躍することができる。
 ついで有義波高の変化から shoaling 効果を検討してみると従来の微小振幅波理論による shoaling 係数の変化率トリモードや小さい値を示すようであって、この傾向は波形勾配が大きいほど強す、 ≈ 1.3 。一方スペクトル強度のピーク値より算定した shoaling 係数 k_s の水深変化にともなう変化を示したのが図-3であって、 k_s が少しくなるにつれて一様

に減少し、ある水深より浅く下れると K_0 が大きくなり、いく従小振幅波理論にて大きくその傾向を示す。さらに周波数別のスペクトルと密度から算定した shoaling 係数 K_S の変化を図-4 に示す。ピーク周波数 0.75 cps, 1.125 cps の差は述べたように一様に減少して 11.0%、上述の次成分が直視でなく TD は低周波数側の 0.375 cps 及び高周波数側の 1.50 cps で TD が増減しに復急に K_S が大きくなっている。これらのことよりスペクトル密度を 1 次と 2 次のスペクトル密度から TD で TD を考慮して分離するから TD 1 次のスペクトル密度による $S^1(f)/S^0(f)$ (TD 卓越周波数だけ) で TD が全周波数域にわたって酒井が指摘したような有限振幅波の shoaling 理論によると基本成分波高の変化と定性的に一致することが認められ、したがって $S^1(f)/S^0(f)$ と考えられるスペクトルピーク部分の急激な減少がこれにより説明できる。(b)選択的碎波の効果について: これについては実験値のバラつきが大きく、合田が示した算定曲線の検討をすることができなかつたが、有義波から求めた碎波限界水深より深い部分での碎波により最大約 10% 程度の波高減衰(%)を計算して示すのが生じるところが計算から判明したが詳説 TD 講演時に説明したい。

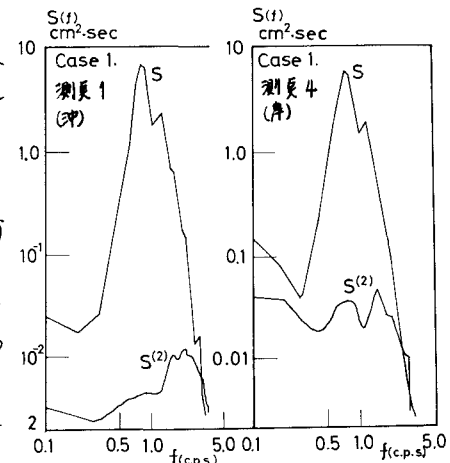


図-1 1次スペクトルと2次スペクトル(押側)
 図-2 " " (序側)

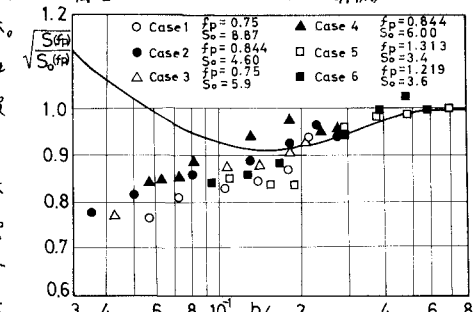


図-3 $\pi^2/7$ 周波数付近における Shearling 構造の変化

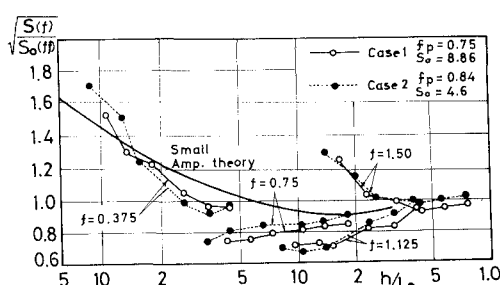


図-4 周波数別に算定した shoaling 振数の變化